

## مهاجرت زمانی پیش از برانبارش داده‌های لرزه‌ای دو بعدی به روش کرشیف

پویا هادیان<sup>۱</sup>، عبدالرحیم جواهریان<sup>۲\*</sup> و بهزاد نظری<sup>۳</sup>

<sup>۱</sup>اداره ژئوفیزیک، مدیریت شرکت ملی نفت ایران، تهران، ایران

<sup>۲</sup>استاد بازنشسته، گروه فیزیک زمین، مؤسسه ژئوفیزیک، دانشگاه تهران و استاد دانشکده مهندسی نفت دانشگاه صنعتی امیرکبیر، تهران، ایران

<sup>۳</sup>مرکز پردازش، شرکت عملیات اکتشاف نفت، تهران، ایران

(دریافت: ۸۷/۰۷/۲۱، پذیرش نهایی: ۸۸/۰۱/۲۲)

### چکیده

مهاجرت لرزه‌ای عمل بازگردان وقایع پراش در ثبت‌های مهاجرت داده نشده به نقاط و درنتیجه انتقال وقایع بازتابی به مکان‌های صحیحشان و ساختن یک تصویر واقعی از ساختارهای درون زمین است. روش مهاجرت کرشیف براساس مجموع پراش است که دامنه‌های لرزه‌ای را در طول هذلولی پراش جمع می‌کند و نتیجه را در رأس هذلولی قرار می‌دهد. روش کرشیف به راحتی برای داده پیش از برانبارش قابل اصلاح است و می‌توان آن را بر ثبت‌های منبع مشترک و دورافت مشترک اعمال کرد. در این مقاله مهاجرت زمانی پیش از برانبارش داده‌های لرزه‌ای دو بعدی به روش کرشیف مورد بررسی قرار می‌گیرد. در این راستا نرم‌افزاری در محیط MATLAB برای مهاجرت ثبت‌های منبع مشترک با این روش نوشته شده است. صحت این نرم‌افزار با داده‌های مصنوعی که به روش ردیابی پرتو موج در مدل زمین‌شناسی با نرم افزار GXII ساخته شده بود، آزمایش شد. مدل به کار رفته، یک مدل دولایه‌ای ذوزنقه‌ای شکل و یک مدل کوهپایه سه‌لایه‌ای است که ویژگی شبیه‌های متضاد را دارد. جنبه‌های متفاوت مهاجرت کرشیف نیز مانند حساسیت به مدل سرعت و پهنای دهانه مهاجرت مورد بررسی قرار گرفته است.

**واژه‌های کلیدی:** بازتابندهای شبیه‌دار، مهاجرت زمانی دو بعدی پیش از برانبارش، مهاجرت به روش کرشیف، مدل‌سازی ردیابی مسیر پرتو، روش‌های عددی حل معادله موج

## Prestack time migration of 2D seismic records by the Kirchhoff method

Hadian, P.<sup>1</sup>, Javaherian, A.<sup>2</sup> and Nazari, B.<sup>3</sup>

<sup>1</sup> Geophysics Department, NIOC Exploration Directorate, Tehran, Iran

<sup>2</sup>Retired Professor, Earth Physics Department, Institute of Geophysics, University of Tehran and presently at the Department of Petroleum Engineering, Amirkabir University of Technology, Tehran, Iran

<sup>3</sup>Processing Center, Oil Exploration Operations Company, Tehran, Iran

(Received: 11 Jan 2009, Accepted: 13 Oct 2009)

### Abstract

In exploration seismology, migration refers to a multi-channel processing step that attempts to spatially re-position events and improve focusing. Before migration, seismic data is usually displayed with traces plotted at the surface location of the receivers and with a vertical time axis. This means that dipping reflections are systematically mispositioned in the lateral coordinate and the vertical time axis needs a transformation to depth. Also problematic is the unfocused nature of seismic data before migration. Migration moves dipping reflections to their true subsurface positions and collapses diffractions, thus increasing spatial resolution and yielding a seismic image of the subsurface.

Time migration which produces a migrated time section is appropriate as long as lateral velocity variations are mild to moderate. Dipping events on a stacked section call

for time migration. Conflicting dips with different stacking velocities is one case in which a conventional stacked section differs from a zero-offset section. Thus, poststack migration which assumes that the stacked section is equivalent to a zero-offset is not valid to handle the case of conflicting dips. Instead, one needs to do prestack time migration.

Kirchhoff migration methods are based on the diffraction summation technique, which sums the seismic amplitudes along a diffraction hyperbola whose curvature is governed by the medium velocity, and maps the result to apex of the hyperbola. The Kirchhoff summation technique applies amplitude and phase corrections to the data before summation. These corrections make the summation consistent with the wave equation in that they account for spherical spreading, the obliquity factor (angle-dependency of amplitudes), and the phase shift inherent in Huygens' secondary sources. Since the Kirchhoff migration method is based on summing the amplitudes along the hyperbolic trajectory, as long as the diffraction curve is known, it can be adapted for any domain. The velocity function used in the diffraction curve equation is  $v_{rms}$  for prestack migration. Poststack migration uses zero-offset data while prestack time migration applies to unstacked data, so uses shot record, common-offset, and equivalent-offset data. The Kirchhoff prestack time migration sums through the input space along hyperbolic paths to compute each point in the output space. For variable velocity the hyperbola is replaced by a more general shape. Amplitudes change under migration. Velocity model is a matrix of interval velocity at each sampling point. Velocity model is generated using reflector velocities. An important factor in the Kirchhoff migration is migration aperture. Reducing the aperture reduces the maximum dip to migrate. The effect of migration aperture is illustrated using different apertures. Small apertures eliminate steeply dipping events from the migrated section.

A software in MATLAB is written which is capable of migrating common shot records. Traveltime from source to a scatterpoint (i.e. the image point) is approximated by a Dix equation using the rms velocity from the model at the lateral position halfway between the source and the receiver and at the vertical traveltimes of the scatterpoint. Similarly, from the scatterpoint to a receiver, a Dix equation using the rms velocity halfway between the scatterpoint and the receiver is used. The source and all receivers are assumed to be on the same horizontal plane.

In this paper, two models consisting of a 2 layered trapezoid model and a 3 layered model are synthesized and inputted to the migration algorithm. The traveltimes are calculated via ray tracing with respect to a shot in the center of the model. Shot records were migrated with the interval velocity model. Since prestack migration is very sensitive to the velocity model, an rms velocity model was used. Using rms velocity field improved the migrated section. The critical parameter of the Kirchhoff migration is a migration aperture width whose effect is more evident in steep dips and depths.

**Key words:** Time migration, prestack migration, Kirchhoff migration, ray tracing, wave equation

## ۱ مقدمه

الگوریتم‌های مهاجرت، علاوه بر جایابی فضایی و متراکم‌سازی، تنظیمات دامنه و فاز را به منظور تصحیح تأثیرات واگرایی مسیرهای پرتو هنگام انتشار موج اعمال می‌کنند. هنگامی که در مقطع برانبارش، بازتابندهای

مهاجرت لرزه‌ای فرایندی براساس معادله موج است که با منتقال وقایع به موقعیت‌های مکانی صحیحشان، و با بازگرداندن انرژی از پراش‌ها به نقاط پراشندۀ، از شکل واقعی خارج شدن ثبت‌های بازتابی را رفع می‌کند.

مجموع کرشهف معرفی شد (اشنایدر، ۱۹۷۸). این روش، اساساً مانند روش مجموع پراش است که در آن تصحیحات دامنه و فاز روی داده‌ها قبل از جمع کردن صورت گرفته است. این تصحیحات، مجموع را با معادله موج در این مورد که آنها برای انتشار کروی، فاکتور شب (وابستگی دامنه به زاویه)، و شیفت فاز در منابع ثانویه هویگتر به حساب می‌آیند، مطابق می‌سازد.

مهاجرت کرشهف شامل مجموع گیری از دامنه‌ها در طول هذلولی‌های پراش است. با داشتن سرعت rms در هر نمونه زمانی معین از ردلرزه ورودی، یک منحنی زمان گذر هذلولی مرتبط با پراشنده فرضی روی مقطع ورودی انداخته می‌شود که رأس آن در همان نمونه زمانی قرار دارد. در نظریه هذلولی پراش تا زمان و فاصله بین نهایت گسترش می‌یابد. در عمل با یک مسیر مجموع گیری هذلولی قطع شده سروکار داریم. گستره فضایی که مسیر مجموع گیری واقعی گستردۀ شده است را دهانه مهاجرت می‌نامند و با تعداد ردلرزه‌هایی که مسیر هذلولی را می‌پوشاند اندازه گیری می‌شود. پهنانی دهانه مهاجرت، پارامتر بحرانی در مهاجرت کرشهف است. دهانه کوچک باعث حذف شب‌های تند می‌شود؛ واقعی افقی دروغین تولید می‌کند و نویه تصادفی ناهمبسته از ردلرزه به ردلرزه را سازماندهی می‌کند (ایلماز، ۲۰۰۱).

در این مقاله، نرمافزاری در محیط MATLAB برای مهاجرت زمانی داده‌های لرزه‌ای دوبعدهی به روش کرشهف عرضه شده است. این نرمافزار روی دو مدل که شامل بازتابنده‌های شب‌دار و افقی هستند و ویژگی‌های شب‌های متضاد را دارند آزمایش شد. ثبت منع مشترک این مدل‌ها به روش ردیابی پرتو موج به دست آمد و با نرمافزار نوشته شده مهاجرت داده شد. برای بررسی اثر مدل سرعت و پهنانی دهانه مهاجرت، ثبت منع مشترک اولیه با مدل سرعت میانی و rms و همچنین پهناهای دهانه متفاوت مهاجرت داده و نتایج مقایسه شد.

شب‌دار وجود دارند، به مهاجرت زمانی نیاز است. مهاجرت زمانی تا هنگامی که تغییرات جانبی سرعت، کم تا متوسط باشد، مناسب است. وقتی تغییرات جانبی سرعت قبل ملاحظه است، مهاجرت زمانی تصویر واقعی زیرزمینی را به وجود نمی‌آورد. در عوض باید از مهاجرت عمقی استفاده کرد. وقتی شب‌های متضاد با سرعت‌های برانبارش متفاوت وجود دارند، مهاجرت پس از برانبارش که فرض می‌کند مقطع برانبارش مساوی مقطع دورافت-صفراست جواب خوبی نمی‌دهد، به جای آن به مهاجرت زمانی پیش از برانبارش نیاز است (ایلماز، ۲۰۰۱). مهاجرت پیش از برانبارش، روشی مهم برای تصویرسازی و تحلیل سرعت است. این روش ساختارهای پرشیب را که در برانبارش (normal moveout) NMO ماده از بین می‌روند تصویر می‌کند، قدرت تفکیک جانبی را بهبود می‌بخشد، انحراف شب در برآوردهای سرعت را حذف می‌کند و سرعت‌های برآوردهی را در موقعیت‌های مهاجرت کرده‌شان قرار می‌دهد. روش‌های مهاجرت پیش از برانبارش اغلب براساس معادله کرشهف دورافت-مشترک هستند، ولی تعدادی از رویکردهای جایگزین نیز معرفی شده‌اند.

معادله موج (در عمق)، اساس الگوریتم‌های مهاجرت معمول است. این الگوریتم‌ها بازتابنده‌های چندگانه، امواج تبدیلی، امواج سطحی، یا نویه را کاملاً مدل نمی‌کنند. با هر کدام از چنین انرژی‌های موجود در ورودی داده به مهاجرت، مانند بازتابهای اولیه رفتار می‌شود. الگوریتم‌های مهاجرت براساس حل انتگرالی معادله موج، به روش‌های کرشهف موسوم است. اولین روش مهاجرت توسعه داده شده، روش جایگزینی نیم‌دایره‌ای بود که پیش از دوره رایانه‌ها از آن استفاده می‌شد. سپس روش مجموع-پراش آمد، که براساس جمع کردن دامنه‌های لرزه‌ای در طول یک هذلولی پراش که در انتخاب آن سرعت میانی حاکم است. استوار است سپس، روش

## ۲ مهاجرت زمانی - مهاجرت عمقی

کار درست نبود.

فهم و حل این مشکل به کاربرد واژه‌های مهاجرت زمانی و مهاجرت مکانی منجر شد. مهاجرت زمانی به هر روشی اشاره دارد که به وقایع بی‌شیب تمایل دارد و در شرایط  $v(z)$  به خوبی کار می‌کند. مهاجرت مکانی به روش‌های جدیدتری اشاره دارد که برای غلبه بر این مشکلات توسعه بافته‌اند و در نتیجه می‌توانند تصاویری صحیح حتی در تغییرات قوی جانی سرعت تولید کنند.

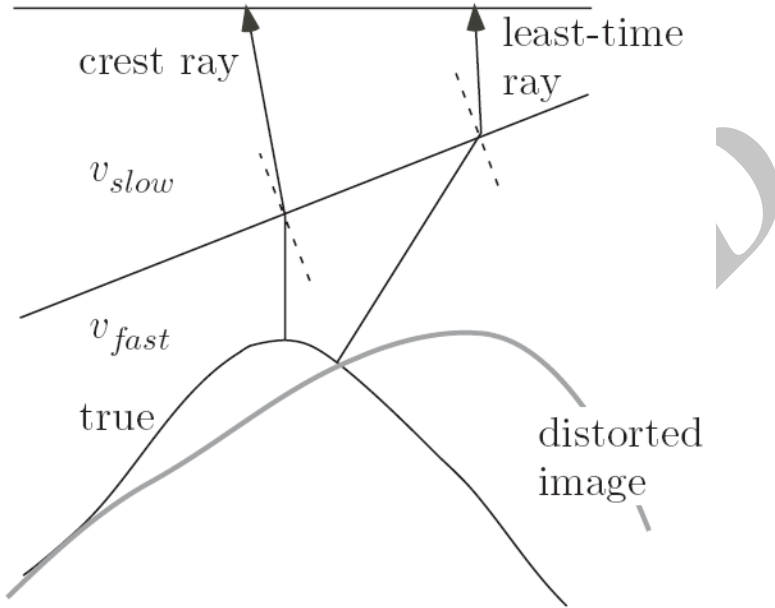
شکل ۲ نشان می‌دهد که اگر مهاجرت زمانی مطلوب باشد، چگونه قانون اسلن باید اساساً تغییر کند. الگوریتم مهاجرت زمانی به جای استفاده از زوایایی که پرتوهای تابیده و بازتابده با عمود بر سطح می‌سازند (قانون اسلن)؛ از زوایایی که پرتوها با قائم می‌سازند، استفاده می‌کند. مانند این است که همبrij شیبدار در نقطه برخورد پرتو چرخیده است تا افقی شود. درنتیجه، هر پرتو قائم  $(\Delta x/\Delta v = 0)$  از همبrij سرعت بدون تغییر جهت، بی‌توجه به بزرگی اختلاف سرعت، عبور می‌کند. این روشن می‌سازد که چرا مهاجرت زمانی، پاسخ نادرستی می‌دهد و همچنین توضیح می‌دهد که چرا این فناوری هنوز علی‌رغم این ناکارایی شناخته شده، محبوب است. این واقعیت که وقایع بی‌شیب، بدون توجه به مدل سرعت، با مهاجرت زمانی تحت تأثیر قرار نگرفته‌اند، به این معنی است که وقتی مدل سرعت دارای اشکال است، فرایند رفتاری غیر سختگیرانه دارد. مدل‌های سرعت که به طور خودکار از سرعت‌های برانبارش مشتق شده‌اند، معمولاً پر از بی‌دقیقی هستند. وقتی این مدل‌ها با مهاجرت زمانی استفاده می‌شوند، این بی‌دقیقی‌ها تأثیر کمی دارند ولی وقتی با مهاجرت عمقی استفاده شوند می‌توانند فاجعه آمیز باشند. حتی امروزه، اکثریت مقاطع لرزه‌ای از شرایط  $v(z)$  ناشی می‌شوند و حاوی بیشتر وقایع بی‌شیب هستند. چنین داده‌هایی را با مراقبت کمی با مهاجرت زمانی می‌توان مهاجرت داد و مقاطعی را که به خوبی متصرکر شده‌اند

رویکرد تفاضل محدود پیشرفتهای عظیمی در کیفیت تصاویر لرزه‌ای ایجاد کرد، ولی الگوریتم‌ها برای رایانه‌های موجود چالش بزرگی بود. در نتیجه برآوردهای پیدا شد که می‌توانستند عملیات عددی موردنیاز را کاهش دهند. یک برآورد کلیدی، استفاده از انتقال دستگاه مختصات برای بدست آوردن یک معادله موج برآورده بود که زمان گذر قائم،  $\tau$ ، را جایگزین عمق می‌کرد. یک راه فهم این مسئله آن است که یک مقطع برانبارش تنها حاوی وقایع با  $\Delta t/\Delta x = 0$   $\Delta t/\Delta x$  تصور شود. این از چهره مقاطع لرزه‌ای بسیاری از حوزه‌های رسوبی جهان به دور نیست. چنین حوزه‌هایی محیط‌های  $(z)$  هستند و پرتوهای عمود بر وقایع مسطح، قائم هستند. درنتیجه روی مقطع برانبارش در زمان گذر قائم به درستی قرار گرفته‌اند و الگوریتم مهاجرت کار چندانی نمی‌کند.

روش‌های تفاضل محدود اولیه با موفقیت در حوزه‌های رسوبی مورد استفاده قرار گرفتند، ولی هنگامی که این فناوری به کمرندهای تراستی، مرزهای قاره‌ای و مکان‌های دیگری که برآورد  $(z)$  مدل مناسبی نیست برده شد، به تدریج دریافت شد که خطاهای تصویرسازی مطلوب رخ می‌دهد. در شکل ۱ یک تاقدیس در زیر لایه کم سرعت نزدیک به سطح که دارای همبrij تھاتانی شیبدار است، نشان داده شده است. پرتو عمود از رأس ساختمان عموماً پرتو با کمترین زمان گذر نیست، گرچه کوتاه‌ترین مسیر تا سطح را دارد. در عرض، پرتویی از سمت راست آن پرتو زمان کمینه است چون بیشتر مسیرش را در محیط پرسرعت می‌گذراند. معلوم شد که شیوه‌های مهاجرت در چنین حالاتی تصویری مشوش تولید می‌کنند که باعث می‌شود رأس تاقدیس مهاجرت کرده، در نقطه ظهور پرتو با کمترین زمان، قرار گیرد. همانند حالت حوزه رسوبی، الگوریتم، وقایع بدون شیب را دست‌نخورده باقی می‌گذشت، گرچه در این حالت این

سرعت که در مهاجرت زمانی به چشم نمی‌آیند، مشکلات اساسی در تبدیل عمق ایجاد می‌کند. اگر مقطع عمقی دقیق مورد نیاز است مراقبت بیشتری باید لحاظ شود.

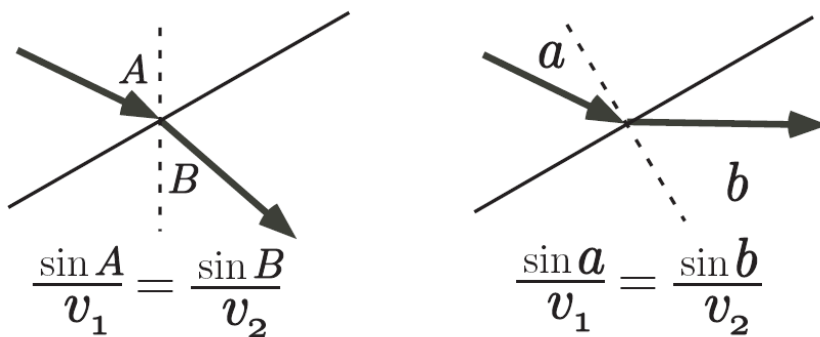
به دست آورد. البته، اینها هنوز مقاطع زمانی هستند و یک مهاجرت زمانی به این معنی راضی کننده نیست که می‌توان سرعت‌های مهاجرت را برای تبدیل عمق به کار برد. به طور کلی، خطاهای



شکل ۱. پرتو با کمترین زمان همیشه از رأس تاقدیس نمی‌آید (مارگریو، ۲۰۰۳).

Time migration

Depth migration



شکل ۲. (راست) وقتی پرتویی با همبزی سرعت شبیدار برخورد می‌کند، قانون اسنل پرتو بازتابیده را با استفاده از رابطه بین زوایا نسبت به عمود بر سطح پیش‌بینی می‌کند. (چپ) در یک الگوریتم مهاجرت زمانی، از قانون اسنل تبعیت نمی‌شود زیرا زوایایی قائم استفاده می‌شود. اگر همبزی سرعت افقی باشد، هردو روش نتیجه یکسانی می‌دهند (مارگریو، ۲۰۰۳).

خروجی برد می‌شوند. در نظریه کرشیف، یک مدل زیرزمینی، متشکل از نقاط پراشنده است که انرژی را از هر منبعی به همه گیرنده‌ها پراش می‌دهند. یک واقعه بازتابنده با یک آرایش مرتب از نقاط پراشنده تشکیل شده است که بازتابی همدوس را تولید می‌کنند. هدف مهاجرت پیش از برآنبارش، جمع آوری همه انرژی پراشیده و بازگرداندن آن به مکان نقاط پراشنده است. مهاجرت پیش از برآنبارش کرشیف، یک مکان خروجی (یا نقطه پراشنده) را در نظر می‌گیرد و انرژی مربوط را از همه ردیزه‌های ورودی موجود جمع می‌کند. این رویه برای هر نمونه خروجی تکرار می‌شود.

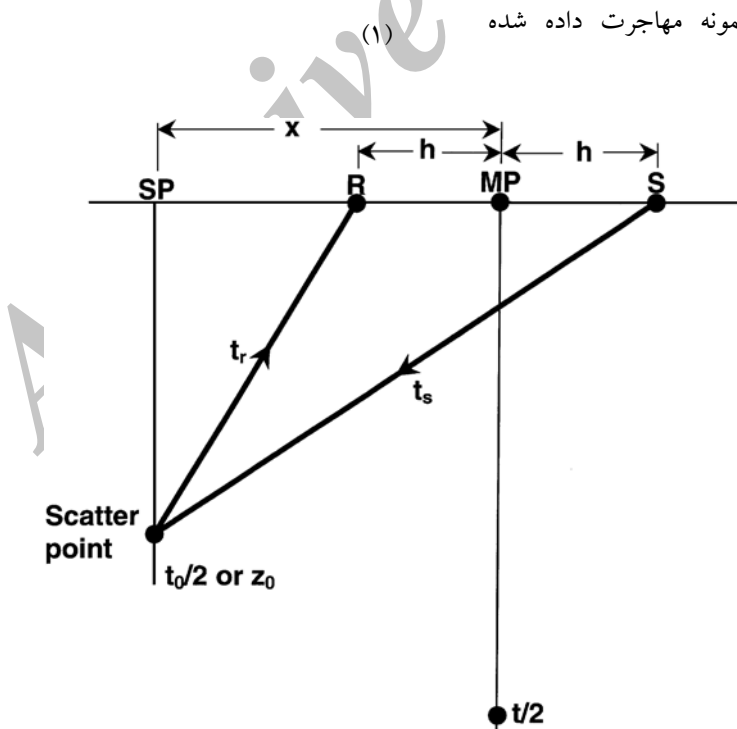
اکثر مهاجرت‌های زمانی کرشیف، مسیرهای مستقیم از منبع به نقطه پراشنده، و از نقطه پراشنده به گیرنده را در نظر می‌گیرند، مانند شکل ۳. کل زمان گذر  $t$  با جمع کردن زمان منبع به نقطه پراشنده  $t_{sR}$  و زمان نقطه پراشنده به گیرنده  $t_{rS}$  برآورد می‌شود.

$$t = t_s + t_r . \quad (1)$$

واژه‌های مهاجرت زمانی و مهاجرت عمقی ایجاد شدند زیرا نسخه‌های اولیه این فناوری‌ها تنها به ترتیب مقاطع زمانی و عمقی تولید می‌کردند. گرچه، این درست نیست و هردو می‌توانند مقاطع زمانی و عمقی را تولید کنند. درنتیجه، این واژه‌ها باید به منزله واژه‌های تخصصی استفاده شوند که نشان می‌دهد آیا الگوریتم، قابلیت تولید یک تصویر صحیح در حضور تغییرات شدید جانبی سرعت را دارد یا نه. صرف حضور محور زمانی یا عمقی روی مقطع لرزه‌ای مهاجرت کرده چیزی درباره روش استفاده شده به ما نمی‌گوید.

### ۳ مهاجرت زمانی پیش از برآنبارش کرشیف

مهاجرت کرشیف (اشنايدر، ۱۹۷۸) براساس محاسبه سطح زمان گذر که انرژی از یک نقطه زیرزمینی بر آن پراشیده شده است استوار است. نمونه‌های ورودی روی سطح زمان گذر، مطابق انتگرال پراش کرشیف مجموع گرفته و مستقیماً به یک نمونه مهاجرت داده شده



شکل ۳. هندسه مهاجرت زمانی پیش از برآنبارش کرشیف با منبع S و گیرنده R. کل زمان گذر مجموع زمان منبع به نقطه پراشنده  $t_s$  و زمان نقطه پراشنده به گیرنده  $t_r$  است (بنکرافت، ۱۹۹۸).

زمان  $t$ ، یک فیلتر ضد الیاسینگ محلی اعمال می‌شود (اگر نیاز باشد)، و نمونه مطلوب درون‌یابی می‌شود. این نمونه سپس مقیاس و جمع می‌شود تا نمونه مهاجرت کرده به دست آید. این فرایند برای همه نمونه‌های مهاجرت کرده خروجی تکرار می‌شود. وقتی مسیر مجموع گیری هذلولی است، به کل این فرایند، NMO کرشف گفته می‌شود. کاربردهای عملی مجموع گیری کرشف با زمان ثبت محدود روی ردلرزه‌های ورودی محدود می‌شوند. درنتیجه، انرژی از یک نقطه پراشنده به شرط داشتن کل زمان گذر از منع به نقطه پراشنده به گیرنده در محدوده زمان ثبت، در همه ردلرزه‌ها ثبت خواهد شد. پوش مکانی ردلرزه‌ها که حاوی این انرژی است، دهانه مهاجرت است. انرژی از نقطه پراشنده در  $(x = 0, t_0)$  روی سطح زمان گذر معادله (۳) می‌افتد. این سطح با عنوان هرم خوفو (اتولینی، ۱۹۸۲؛ کلربوت، cheops pyramid ۱۹۸۵) شناخته می‌شود و در شکل a-۴ نشان داده شده است. یک دسته CMP که در نقطه پراشنده  $x=0$  قرار گرفته است، هرم خوفو را روی یک مسیر هذلولی قطع می‌کند و امکان تصحیح NMO متداول را به وجود می‌آورد. گرچه، تقاطعات همه دسته‌های CMP دیگر  $(x \neq 0)$  مسیرهای غیرهذلولی دارند، و انرژی با تصحیح NMO هذلولی به اشتباه قرار داده خواهد شد. مهاجرت پیش از برآنبارش، مسیر غیرهذلولی را به حساب می‌آورد و درنتیجه همه انرژی پراشیده را متمرکز می‌کند.

همه ردلرزه‌های ورودی ممکن است حاوی انرژی Common پراشیده از هر نقطه پراشنده باشند. یک دسته (Scatter Point, CSP) در حکم مجموعه‌ای از انرژی از همه ردلرزه‌های ورودی به یک فضای دوبعدی از دورافت و زمان  $(h, t)$  که در آن انرژی پراشیده برای عمل متمرکز کننده بعدی، به طور بهینه قرار داده شده، تعریف می‌شود. این فرایند در شکل ۴ نمایش داده شده است، که در آن همه انرژی در هرم خوفو به هذلولی در صفحه  $x=0$

از هندسه شکل ۳ و ثابت فرض کردن سرعت  $V$  عبارت (۱) بسط داده می‌شود تا معادله ریشه دوم مضاعف (DSR, Double square root) را به دست دهد (کلربوت، ۱۹۸۵)

$$t = \left[ \frac{z_0^2 + (x+h)^2}{V^2} \right]^{1/2} + \left[ \frac{z_0^2 + (x-h)^2}{V^2} \right]^{1/2}. \quad (2)$$

که در آن  $z_0$  عمق نقطه پراشنده،  $x$  مکان نقطه میانی (MP) منبع- گیرنده نسبت به نقطه پراشنده (SP) در  $x=0$  و  $h$  نصف دورافت منبع- گیرنده است. برای مواجهه با تغییرات قائم سرعت و تغییرات ضعیف جانبی سرعت، معادله DSR به صورت زیر تعدیل می‌شود.

$$t = \left[ \left( \frac{t_0}{2} \right)^2 + \frac{(x+h)^2}{V_{mig}^2} \right]^{1/2} + \left[ \left( \frac{t_0}{2} \right)^2 + \frac{(x-h)^2}{V_{mig}^2} \right]^{1/2}. \quad (3)$$

که در آن سرعت مهاجرت  $V_{mig}$  تقریب RMS تانر و کوهر (۱۹۶۹) ارزیابی شده در  $t_0$  است. زمان  $t_0=t(x=0, h=0)$  زمان دوطرفه دورافت- صفر محاسبه شده از سرعت میانگین  $V_{ave}$  به صورت زیر است.

$$t_0 = \frac{2z_0}{V_{ave}}. \quad (4)$$

معادله (۳) سطح زمان گذر که بر آن انتگرال گیری (مجموع گیری) کرشف صورت می‌گیرد را تعریف می‌کند. کاربرد کامل انتگرال کرشف فرایندی پیچیده است. برای مثال، لازم است که ردلرزه‌های ورودی با یک فیلتر دیفرانسیلی برای داده سه بعدی یا یک فیلتر دیفرانسیلی ریشه دوم برای داده‌های دو بعدی هماییخت شوند (منظور از فیلتر دیفرانسیلی، یک اپراتور هماییخت است که مشتق زمان را به کار می‌برد). انتگرال گیری یا مجموع گیری برای یک نمونه مهاجرت کرده خروجی در زمان  $t_0$  نیازمند محاسبه  $t$  در هر ردلرزه ورودی است. در

کوسینوس تنا اعمال می کند، و در انتهای یک فیلتر جعبه ای ضد الایسینگ روی داده ها اعمال می کند. نمودار گردش کار نرم افزار نوشتہ شده در شکل ۵ آمده است.

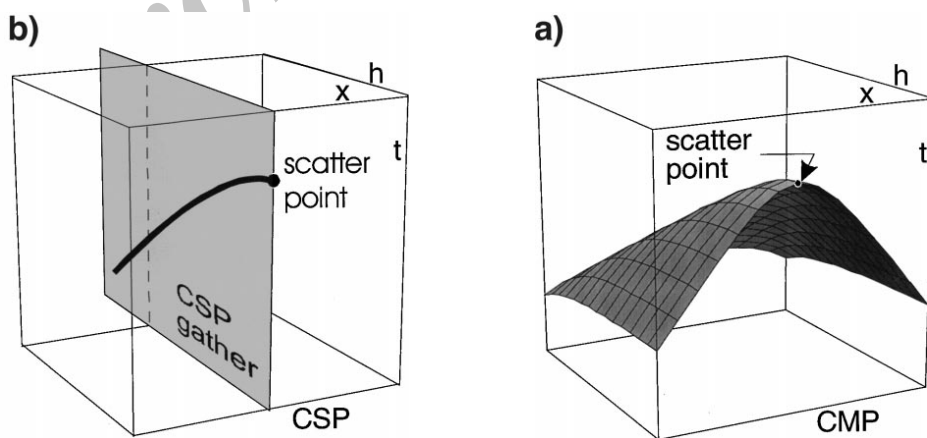
### ۵ مدل ذوزنقه‌ای

این مدل به کمک نرم افزار GXII با ردیابی پرتو موج و پارامترهای زیر ساخته شده است. طول مقطع ۵۰۰۰ متر و عمق آن ۳۰۰۰ متر است. یک منبع در فاصله ۲۵۰۰ واقع است و ۱۰۱ گیرنده با فاصله ۵۰ متر در سطح زمین چیده شده اند. سطح زمین افقی در نظر گرفته شده است و مدل زمین دولایه ای با سرعت های ۲۰۰۰ و ۳۰۰۰ متر بر ثانیه است (شکل ۶). ردیابی پرتو با نمونه برداری زمانی با فواصل ۲ ms به طول ۳۰۰۰ ms با اعمال یک فیلتر و یک gain صورت گرفت تا ثبت منبع مشترک به دست آید (شکل ۷). از ثبت منبع مشترک SEGY (شکل ۷) و مدل سرعت آن (شکل ۸) به صورت Y خروجی گرفته شد و پس از تبدیل به ماتریس در MATLAB به منزله ورودی مهاجرت مورد استفاده قرار گرفت. تصویر مهاجرت کرده در شکل ۹ مشاهده می شود.

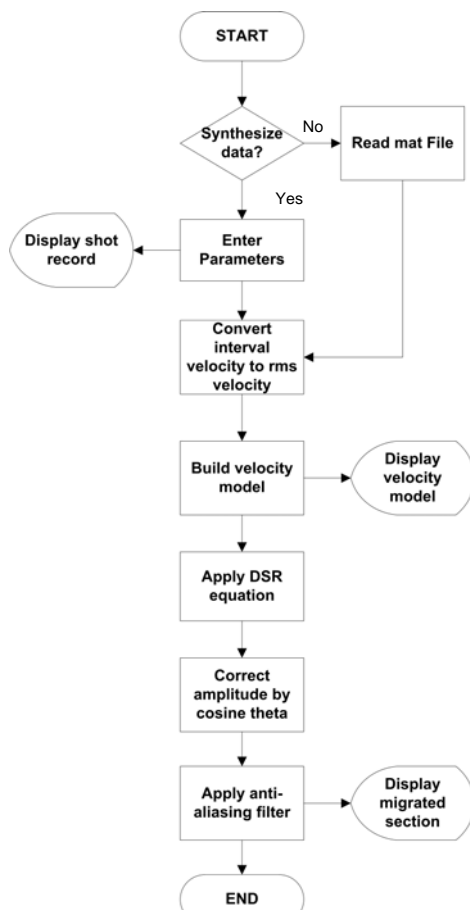
فروانداخته شده است (دسته CSP شکل ۴-b). انرژی از نقاط پراشنده همسایه ( $x \neq 0$ ) پراکنده می شود و به طور مخرب باطل خواهد شد (شکل ۴-b).

### ۴ برنامه عرضه شده در محیط MATLAB

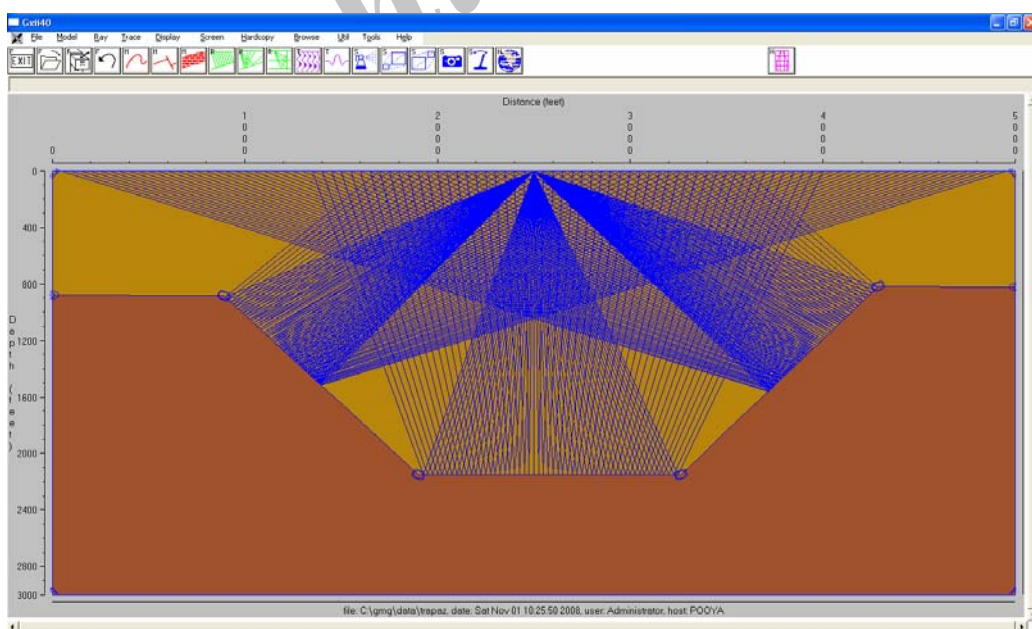
همان طور که پیش از این ذکر شد روش کرشوف برایه جمع دامنه های موجود در طول منحنی پراش صورت می گیرد. این روش با توجه به اصل هویگنس به انجام می رسد. اصل هویگنس فرض می کند که یک بازتابنده از مجموعه ای نقاط پراش که در کنار هم قرار گرفته اند تشکیل شده است. مهاجرت با فرونشاندن هر هذلولی پراش به نقطه آغازی آن حاصل می شود. در این روش با هر نقطه به طور مستقل برخورد می شود. سرعت استفاده شده در این روش سرعت rms است که ممکن است به طور جانبی تغییر کند. در هر صورت، تغییرات جانبی سرعت هذلولی پراش را تخریب می کند، پس باید این موضوع در نظر گرفته شود. مقدار سرعت rms مربوط به نمونه زمانی خروجی یعنی نقطه عطف هذلولی است. این برنامه زمان گذر منبع - گیرنده را از روش معادله ریشه دوم مضاعف محاسبه می کند. سپس تصحیح دامنه را با



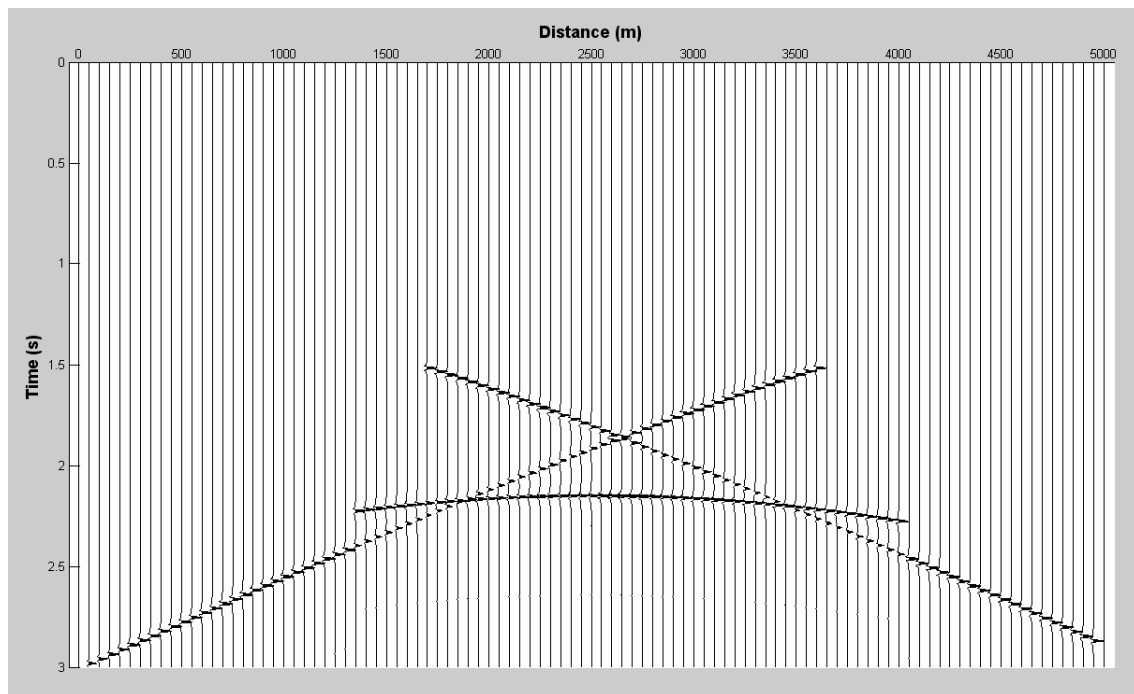
شکل ۴. (a) هرم خوفو، سطح زمان گذر  $(x, t)$  برای یک نقطه پراشنده. (b) دسته CSP تشکیل شده با فروانداختن هرم خوفو به یک هذلولی در صفحه  $x=0$  (بنکرافت، ۱۹۹۸).



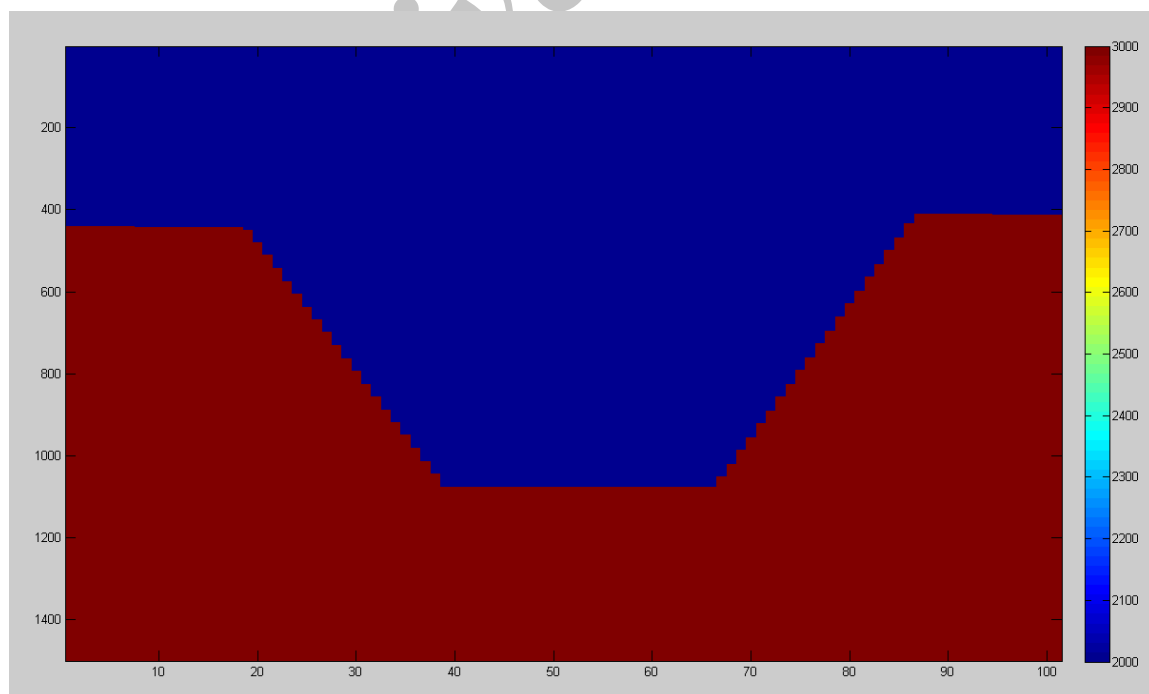
شکل ۵. نمودار گردش کار نرم‌افزار نوشته شده در محیط MATLAB (هادیان، ۱۳۸۷).



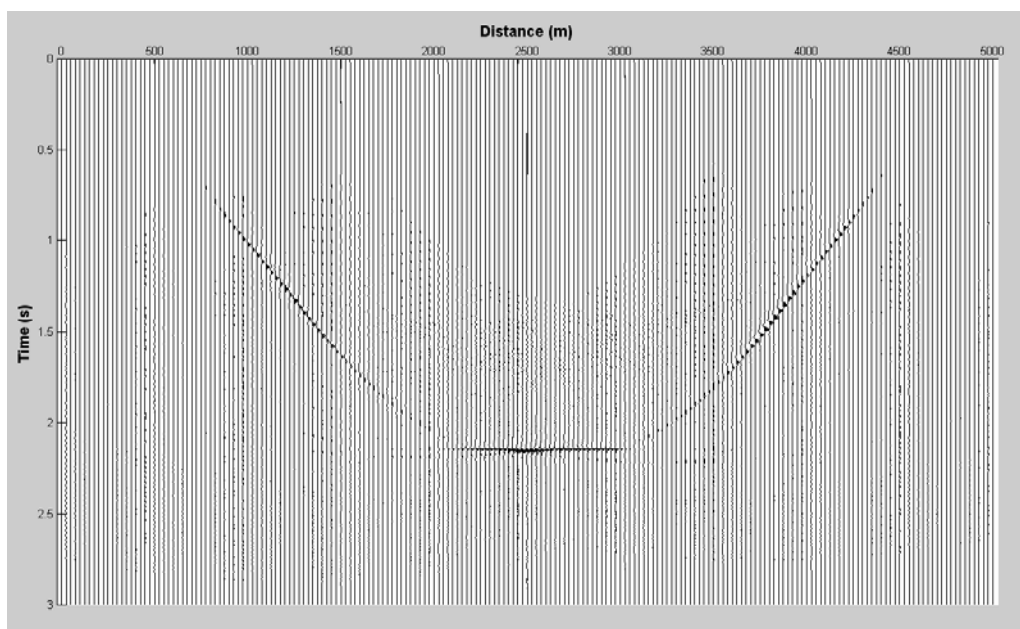
شکل ۶. مدل ذوزنقه‌ای و مسیرهای ردیابی پرتوی موج.



شکل ۷. ثبت منبع مشترک ناشی از ردیابی مسیر پرتو مدل ذوزنقه شکل ۶، محل منبع در موقعیت ۲۵۰۰ متری واقع است.



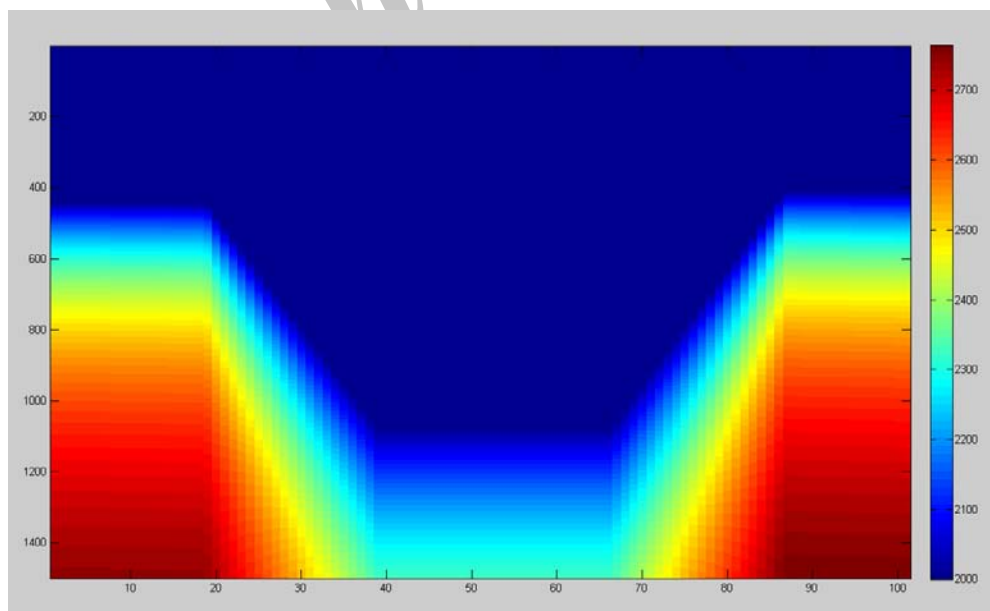
شکل ۸ نیم‌رخ سرعت میانی مربوط به مدل شکل ۶.



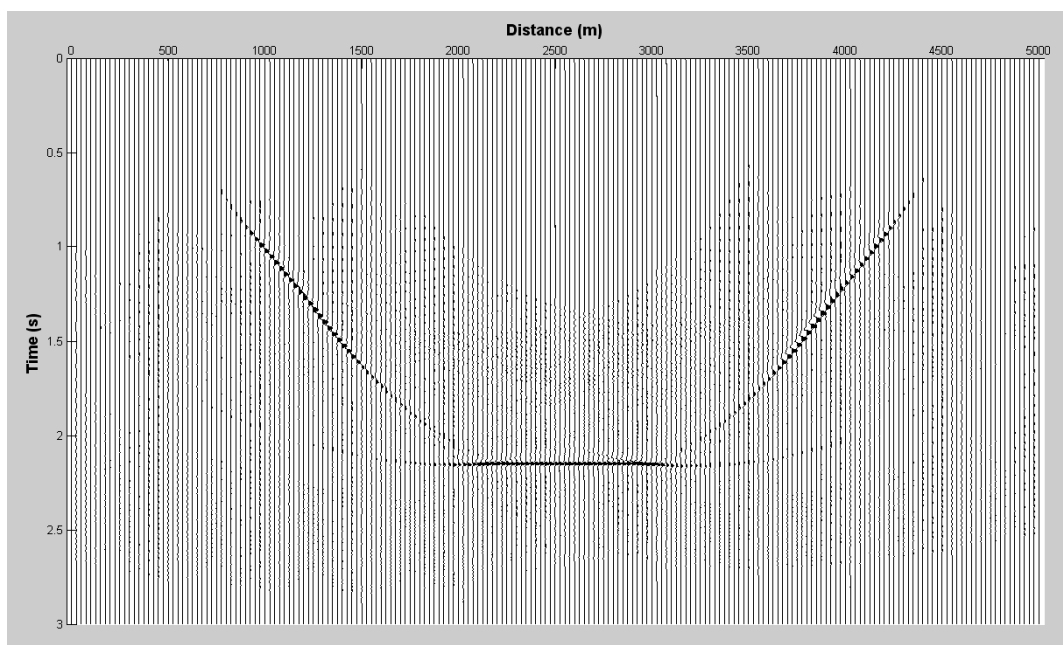
شکل ۹. تصویر مهاجرت کرده شکل ۶ با مدل سرعت میانی.

استفاده شده است. با مقایسه شکل ۱۱ با شکل ۹ مشاهده می‌شود که مهاجرت با مدل سرعت rms بازتابنده‌های شبیه دار را بهتر نمایان کرده و پیوستگی و کیفیت بازتاب‌ها بهبود یافته است.

مهاجرت پیش از برانبارش به مدل سرعت به کار رفته بسیار حساس است و لازم است قبل از مهاجرت، سرعت‌ها هموار شوند. شکل ۱۰ مدل سرعت rms را نشان می‌دهد. در شکل ۱۱ به جای مدل سرعت میانی (شکل ۸) از مدل سرعت rms (شکل ۱۰) برای مهاجرت ثبت منبع مشترک



شکل ۱۰. نیم‌رخ سرعت rms مربوط به شکل ۶

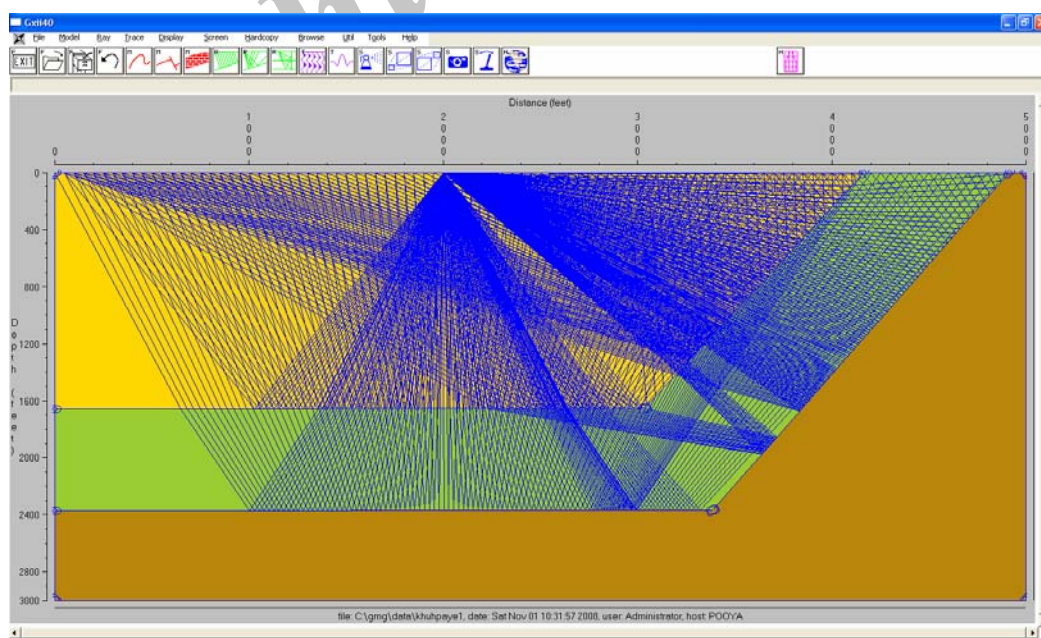


شکل ۱۱. تصویر مهاجرت کرده شکل ۶ با مدل سرعت rms

## ۵ مدل کوهپایه

با فواصل ۵۰ متر برای ردیابی پرتو قرار داده شد (شکل ۱۲). مدل سه لایه‌ای است و سرعت لایه‌ها به ترتیب ۲۴۰۰، ۲۵۰۰ و ۳۰۰۰ متر بر ثانیه است.

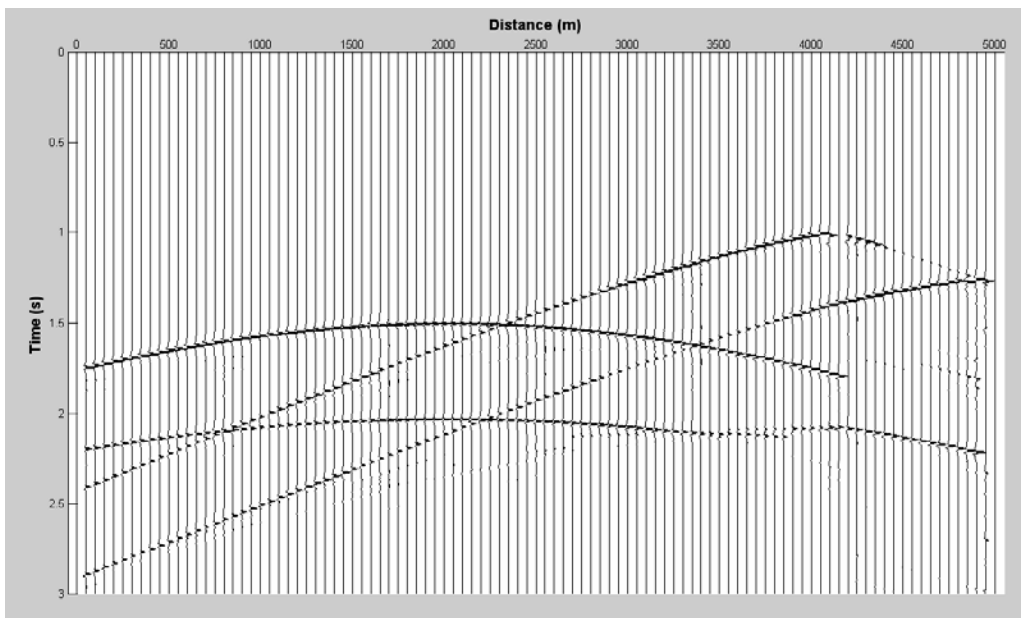
این مدل به کمک نرم‌افزار مدل زمین‌شناسی به عمق حداکثر ۳۰۰۰ متر و فاصله حداکثر ۵۰۰۰ متر در نظر گرفته شد. یک منبع در فاصله ۲۰۰۰ و تعداد ۱۰۱ گیرنده



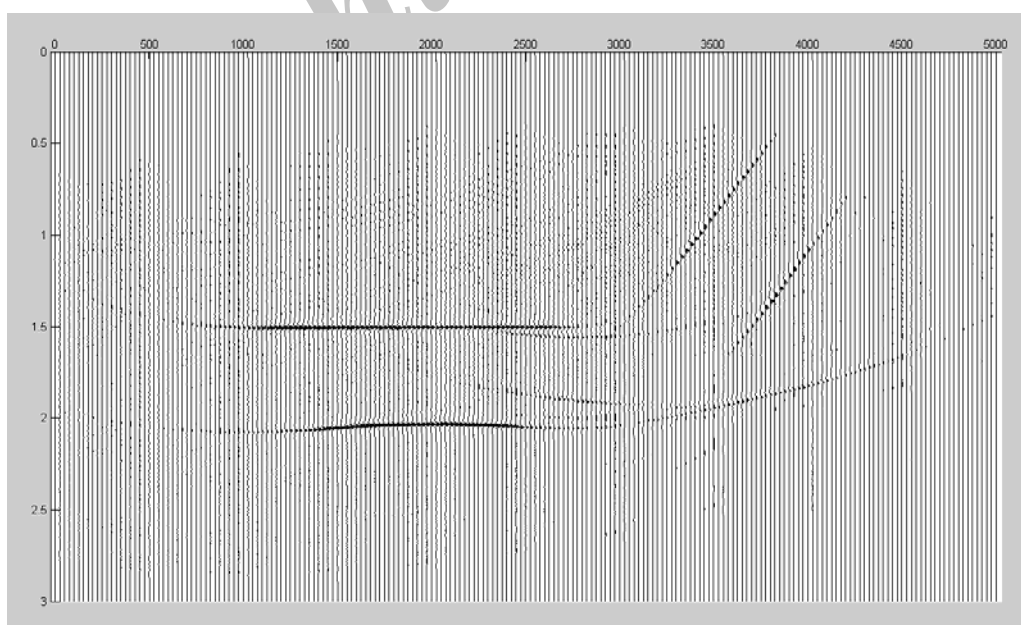
شکل ۱۲. مدل کوهپایه و مسیرهای ردیابی پرتوی موج.

MATLAB به منزله ورودی مهاجرت مورد استفاده قرار گرفت. تصویر مهاجرت کرده در شکل ۱۴ آورده شده است. در شکل ۱۵ تصویر مهاجرت کرده با مدل سرعت rms نشان داده شده است.

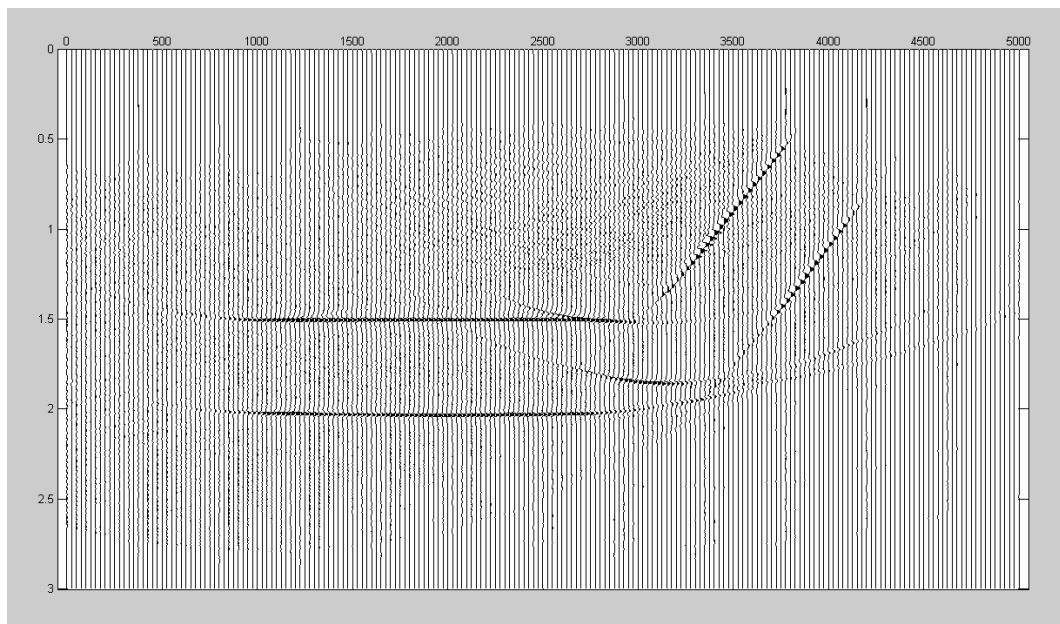
ردیابی پرتو با نمونه‌برداری زمانی با فواصل ۲ ms به طول ۳۰۰۰ ms با اعمال یک فیلتر و یک gain صورت گرفت تا ثبت منبع به دست آید (شکل ۱۳). از ثبت منبع (شکل ۱۳) و مدل سرعت آن به صورت خروجی گرفته شد و پس از تبدیل به ماتریس در segy



شکل ۱۳. ثبت منبع مشترک ناشی از ردیابی مسیر پرتو مدل کوهپایه، محل منبع در موقعیت ۲۰۰۰ متری واقع است.



شکل ۱۴. تصویر مهاجرت کرده با مدل سرعت میانی.



شکل ۱۵. تصویر مهاجرت کرده با مدل سرعت rms

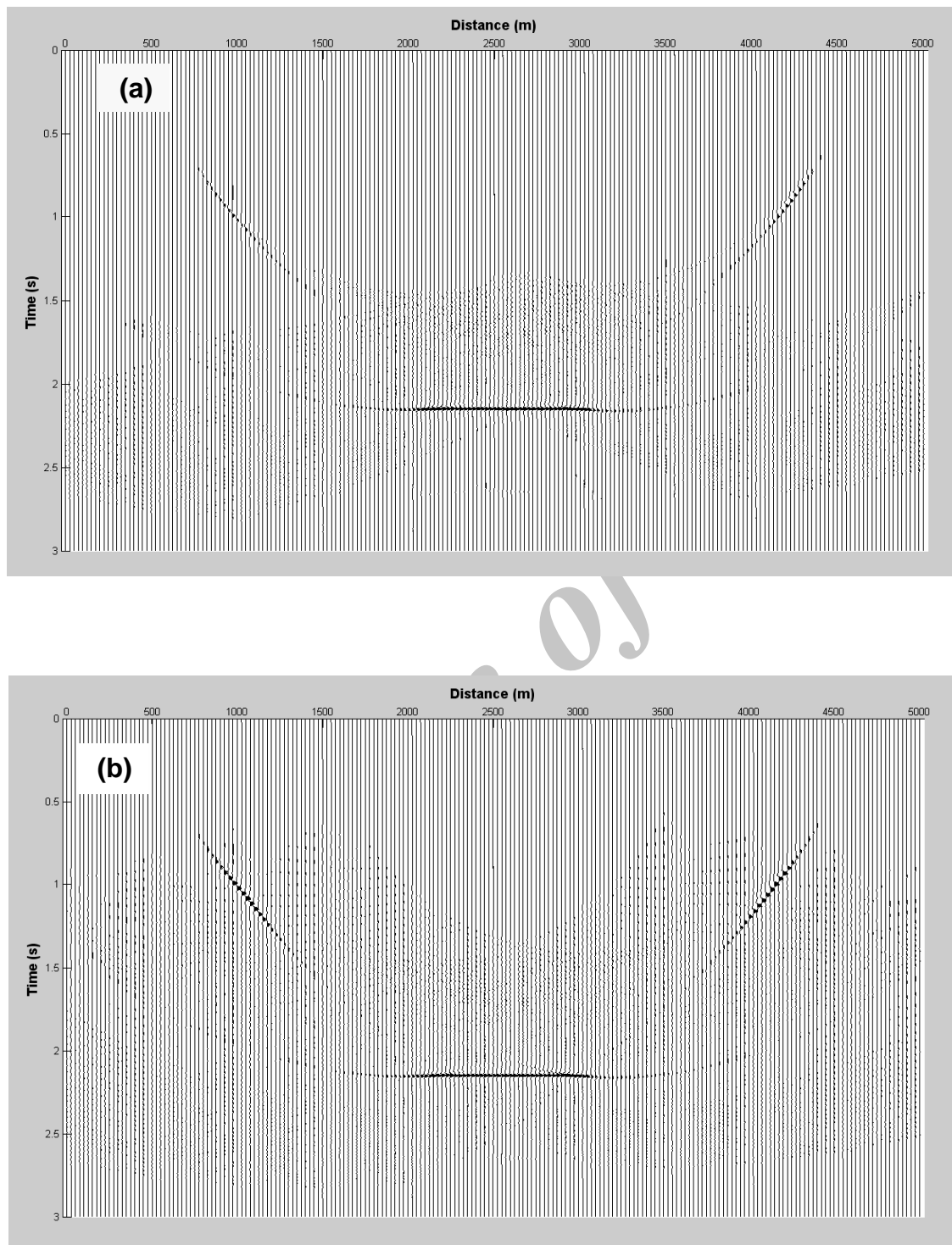
زمانی داده شده داشته باشند. به دلیل تغییرات قائم سرعت، پهنهای دهانه معمولاً تابع زمان است. در حالت معمول که با عمق سرعت افزایش می‌یابد، مهاجرت قسمت کم عمق مقطع نیازمند یک دهانه باریک است در حالی که قسمت‌های عمیق، نیازمند دهانه بزرگ‌ترند. یعنی با داشتن شب ثابت و قایع عمیق بیشتر از وقایع کم عمق مهاجرت می‌یابند.

دهانه مهاجرت کوچک و قایع با شبیه‌های تند را روی مقطع خروجی حذف می‌کند. افزایش پهنهای دهانه امکان مهاجرت مناسب و قایع پرشیب را به وجود می‌آورد. از اینجا می‌توان فهمید که استفاده از پهنهای دهانه کوچک، مانند یک فیلتر شبیه حین مهاجرت عمل می‌کند، زیرا دهانه کوچک دامنه پرشیب هذلولی پراش را از مجموع گیری خارج می‌کند. در شکل ۱۶ مهاجرت با دهانه ۱۰۰۰، ۲۰۰۰ و ۳۰۰۰ متر نمایش داده شده است. از مقایسه شکل ۱۶ با شکل ۱۱ مشاهده می‌شود که با کاهش دهانه مهاجرت بازتابنده‌های شبیه‌دار حذف شده‌اند.

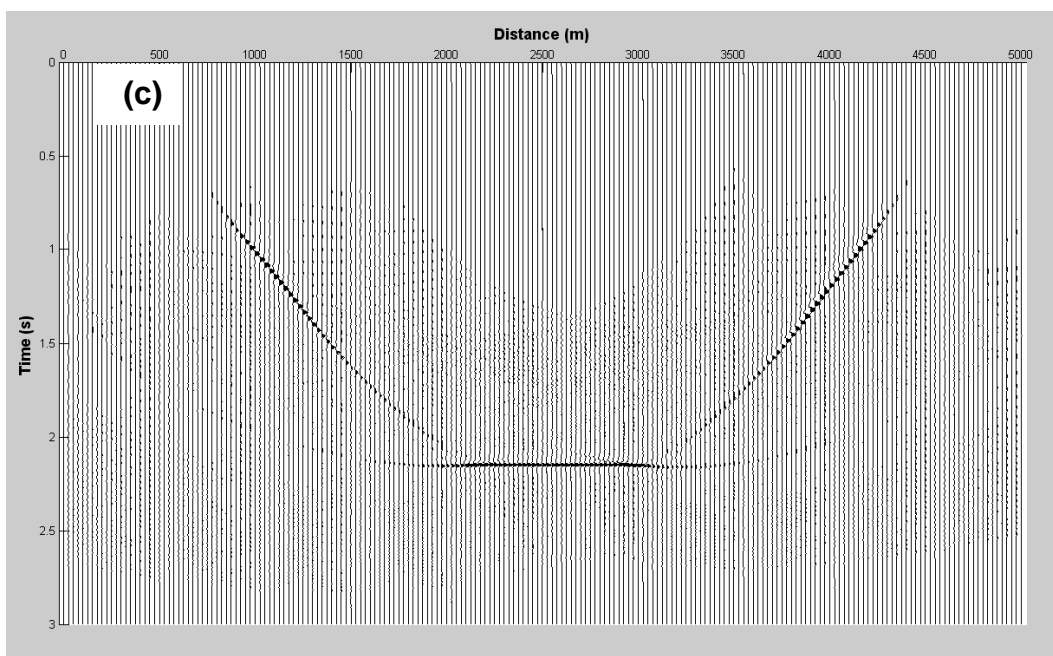
## ۶ پهنهای دهانه مهاجرت

مهاجرت کرشیف شامل مجموع گیری از دامنه‌ها در طول هذلولی‌های پراش است. با داشتن سرعت rms در هر نمونه زمانی معین از ردیلزه ورودی، یک منحنی زمان گذر هذلولی مرتبط با پراشندۀ فرضی روی مقطع ورودی انداخته می‌شود که رأس آن در همان نمونه زمانی قرار دارد. در نظریه هذلولی پراش تا زمان و فاصله بینهایت گسترش می‌یابد. در عمل با یک مسیر مجموع گیری هذلولی قطع شده در ارتباط است. گستره فضایی که مسیر مجموع گیری واقعی گسترده شده است را دهانه مهاجرت می‌نامند که با تعداد ردیلزه‌هایی که مسیر هذلولی را می‌پوشاند اندازه گیری می‌شود.

انحنای هذلولی پراش با تابع سرعت تعیین می‌شود. هذلولی سرعت کم دهانه کوچک‌تری در مقایسه با هذلولی سرعت زیاد دارد: سرعت زیاد به معنی مهاجرت بیشتر است. در عمل با تابع سرعتی سروکار داریم که با عمق تغییر می‌کند. هذلولی‌های پراش ممکن است انحناهای گوناگونی بر حسب مقادیر سرعت در نمونه



شکل ۱۶. تصویر مهاجرت کرده شکل ۶ با دهانه مهاجرت (a) ۱۰۰۰(۱۰۰۰) متر، (b) ۲۰۰۰(۲۰۰۰) متر و (c) ۳۰۰۰(۳۰۰۰) متر.



ادامه شکل ۱۶.

به روش کرشهف بسط داده شد که قابلیت مهاجرت ثبت‌های منع مشترک دویعدی را دارد. توانایی این نرم‌افزار در مهاجرت ثبت‌های منع تولید شده با نرم‌افزار GXII به روش ردیابی پرتو موج سنجیده شد که نتایج آن در زیرآمده است:

- نرم‌افزار عرضه شده در مهاجرت بازتابنده‌های افقی و شیب‌دار به خوبی عمل می‌کند.
- پارامتر بحرانی مهاجرت کرشهف پهنانی دهانه مهاجرت است. دهانه کوچک باعث حذف شیب‌های تند می‌شود، واقعی افقی دروغین تولید و نوفه تصادفی ناهمبسته از ردلرزه به ردلرزه را سازماندهی می‌کند. اثر پارامتر بحرانی دهانه مهاجرت در شیب‌های تند و اعمق بیشتر مشخص می‌شود.

- در مهاجرت پیش از برآنبارش مدل سرعت مناسب از اهمیت ویژه‌ای برخوردار است. به طوری که اگر سرعت‌های به کار رفته دقیق نباشد، این عملگر در ساختارهای ساده مزیت کیفی خود را آشکار نمی‌کند و

به طور خلاصه این موارد را می‌توان برای انتخاب پهنانی مهاجرت مناسب عنوان کرد.

۱- پهنانی دهانه بسیار کوچک باعث از بین رفتگ شیب‌های تند و تغییرات سریع در دامنه‌ها می‌شود.

۲- پهنانی دهانه بسیار کوچک نوفه‌های تصادفی را به خصوص در قسمت‌های عمیق‌تر مقطع به صورت واقعی افقی جعلی ساماندهی می‌کند.

۳- پهنانی دهانه مهاجرت بسیار بزرگ به معنای زمان بیشتر برای رایانه است. مهم‌تر از آن دهانه‌های بزرگ باعث می‌شود که کیفیت مهاجرت در شرایط نسبت سیگنال به نوفه کم، تنزل یابد. استفاده از پهنانی بزرگ باعث می‌شود نوفه تصادفی در زمان‌های زیاد وارد داده کم‌عمق سالم شود.

## ۷ نتیجه گیری

در این مقاله نرم‌افزاری در محیط MATLAB برای مهاجرت پیش از برآنبارش زمانی داده‌های لرزه‌ای دویعدی

نمی‌توان آن را در حکم یک روش مهاجرت برتر به حساب آورد.

- با توجه به حساسیت زیاد مهاجرت پیش از برانبارش نسبت به سرعت می‌توان از آن به منزله ابزاری برای به دست آوردن سرعت‌های rms استفاده کرد.

#### منابع

هادیان، پ، ۱۳۸۷، مهاجرت زمانی پیش از برانبارش داده‌های لرزه‌ای دو بعدی به روش کرشef، پایان‌نامه کارشناسی ارشد مهندسی اکتشاف نفت، دانشکده مهندسی معدن، متالورژی و نفت، دانشگاه صنعتی امیرکبیر.

Bancroft, J. C., 2007, A practical understanding of pre- and poststack migrations, Volume 2 (pretstack): Soc. Expl. Geophys.

Claerbout, J. F., 1985, Imaging the Earth's interior: Blackwell Scientific Publications.

Margrave, G. F., 2003, Numerical methods of exploration seismology with algorithms in MATLAB: The University of Calgary.

Ottolini, R. A., 1982, Migration of reflection seismic data in angle midpoint coordinates: Ph.D. diss., Stanford Univ.

Robinson, E. A., 1983, Migration of Geophysical Data: International Human Resources Development Corp.

Schneider, W. A., 1978, Integral formulation for migration in two and three dimensions: Geophysics, **43**, 49–76.

Taner, M. and Koehler, F., 1969, Velocity spectra-Digital computer derivation and application of velocity functions: Geophysics, **34**, 859–881.

Yilmaz, O., 2001, Seismic data analysis: Soc. Expl. Geophys.